

L'opérade Swiss-Cheese et le centre de Drinfeld

Najib Idrissi



Laboratoire
Paul Painlevé



Université
de Lille
1 SCIENCES
ET TECHNOLOGIES

Plan

- ① Tresses et petits disques
- ② L'opérate Swiss-Cheese
- ③ Modèle rationnel : diagrammes de cordes

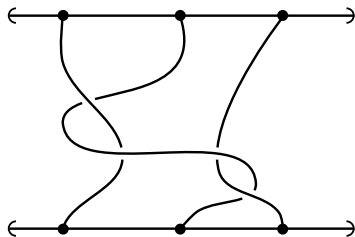
Plan

- ① Tresses et petits disques
- ② L'opérade Swiss-Cheese
- ③ Modèle rationnel : diagrammes de cordes

Groupes de tresses

Rappel : groupe des **tresses pures**

P_r



Groupes de tresses

Rappel : groupe des tresses pures

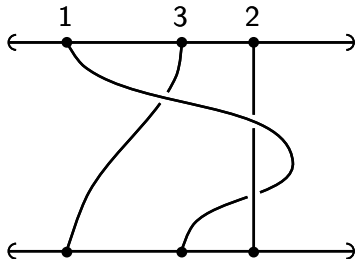
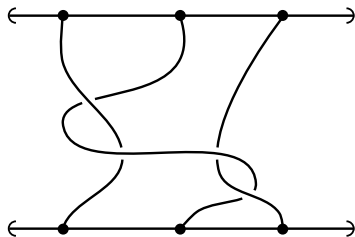
$$P_r$$

Extension : groupoïde des tresses colorées

$$\text{CoB}(r)$$

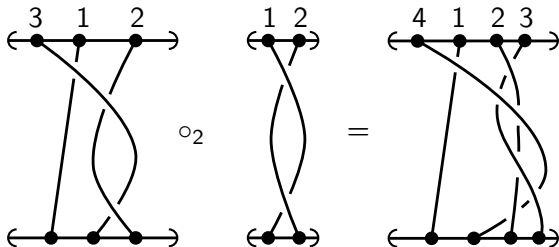
$$\text{ob CoB}(r) = \Sigma_r,$$

$$\text{End}_{\text{CoB}(r)}(\sigma) \cong P_r$$



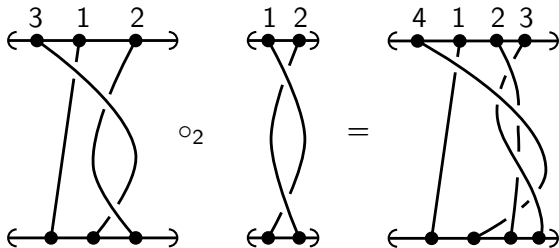
Câblage

« Câblage » : insertion d'une tresse dans un brin



Câblage

« Câblage » : insertion d'une tresse dans un brin



Donne à $\{\text{CoB}(r)\}_{r \geq 1}$ une structure d'**opérade** symétrique dans la catégorie des groupoïdes :

$$\circ_i : \text{CoB}(k) \times \text{CoB}(l) \rightarrow \text{CoB}(k + l - 1), \quad 1 \leq i \leq k$$

Algèbres sur les opérades catégoriques

Soit $P \in \text{CatOp}$. Une P -algèbre est la donnée de :

- Une catégorie C ;
- Pour tout objet $x \in \text{ob } P(r)$, un *foncteur* $\bar{x} : C^{\times r} \rightarrow C$;
- Pour tout morphisme $f \in \text{Hom}_{P(r)}(x, y)$, une *transformation naturelle*

$$\begin{array}{ccc} & \bar{x} & \\ \curvearrowright & \downarrow \bar{f} & \curvearrowleft \\ C^{\times r} & & C \\ \curvearrowleft & & \curvearrowright \\ & \bar{y} & \end{array}$$

- + compatibilité avec les actions des groupes symétriques et avec les compositions opéradiques.

Algèbres sur l'opérade CoB

Pour $\mathcal{P} = \text{CoB}$, les algèbres consistent en :

- Catégorie \mathcal{C} ;
- $\sigma \in \text{ob CoB}(r) = \Sigma_r \rightsquigarrow \otimes_{\sigma} : \mathbb{C}^{\times r} \rightarrow \mathbb{C}$;

Algèbres sur l'opérade CoB

Pour $\mathcal{P} = \text{CoB}$, les algèbres consistent en :

- Catégorie \mathcal{C} ;
- $\sigma \in \text{ob CoB}(r) = \Sigma_r \rightsquigarrow \otimes_{\sigma} : \mathcal{C}^{\times r} \rightarrow \mathcal{C}$;
- $\otimes_{\sigma}(X_1, \dots, X_n) = \otimes_{\text{id}_r}(X_{\sigma(1)}, \dots, X_{\sigma(n)})$;

Algèbres sur l'opérade CoB

Pour $P = \text{CoB}$, les algèbres consistent en :

- Catégorie \mathcal{C} ;
- $\sigma \in \text{ob CoB}(r) = \Sigma_r \rightsquigarrow \otimes_{\sigma} : \mathcal{C}^{\times r} \rightarrow \mathcal{C}$;
- $\otimes_{\sigma}(X_1, \dots, X_n) = \otimes_{\text{id}_r}(X_{\sigma(1)}, \dots, X_{\sigma(n)})$;
- $\otimes_{\text{id}_2}(\otimes_{\text{id}_2}(X, Y), Z) = \otimes_{\text{id}_3}(X, Y, Z) = \otimes_{\text{id}_2}(X, \otimes_{\text{id}_2}(Y, Z))$,
etc.

Algèbres sur l'opérade CoB

Pour $P = \text{CoB}$, les algèbres consistent en :

- Catégorie \mathcal{C} ;
- $\sigma \in \text{ob CoB}(r) = \Sigma_r \rightsquigarrow \otimes_{\sigma} : \mathcal{C}^{\times r} \rightarrow \mathcal{C}$;
- $\otimes_{\sigma}(X_1, \dots, X_n) = \otimes_{\text{id}_r}(X_{\sigma(1)}, \dots, X_{\sigma(n)})$;
- $\otimes_{\text{id}_2}(\otimes_{\text{id}_2}(X, Y), Z) = \otimes_{\text{id}_3}(X, Y, Z) = \otimes_{\text{id}_2}(X, \otimes_{\text{id}_2}(Y, Z))$,
etc.
- Tresse colorée $\beta : \sigma \rightarrow \sigma' \rightsquigarrow$ transformation naturelle
 $\beta_* : \otimes_{\sigma} \rightarrow \otimes_{\sigma'}$. Par exemple :

$$\begin{array}{c}
 \begin{array}{c}
 \overset{1}{\bullet} \quad \overset{2}{\bullet} \\
 \leftarrow \quad \rightarrow \\
 \begin{array}{c}
 \curvearrowright \\
 \curvearrowleft \\
 \bullet \quad \bullet \\
 \leftarrow \quad \rightarrow
 \end{array}
 \end{array}
 \rightsquigarrow \tau_{X,Y} : X \otimes Y \rightarrow Y \otimes X
 \end{array}$$

Algèbres sur l'opérate CoB

Pour $P = \text{CoB}$, les algèbres consistent en :

- Catégorie \mathcal{C} ;
- $\sigma \in \text{ob CoB}(r) = \Sigma_r \rightsquigarrow \otimes_\sigma : \mathcal{C}^{\times r} \rightarrow \mathcal{C}$;
- $\otimes_\sigma(X_1, \dots, X_n) = \otimes_{\text{id}_r}(X_{\sigma(1)}, \dots, X_{\sigma(n)})$;
- $\otimes_{\text{id}_2}(\otimes_{\text{id}_2}(X, Y), Z) = \otimes_{\text{id}_3}(X, Y, Z) = \otimes_{\text{id}_2}(X, \otimes_{\text{id}_2}(Y, Z))$,
etc.
- Tresse colorée $\beta : \sigma \rightarrow \sigma' \rightsquigarrow$ transformation naturelle
 $\beta_* : \otimes_\sigma \rightarrow \otimes_{\sigma'}$. Par exemple :

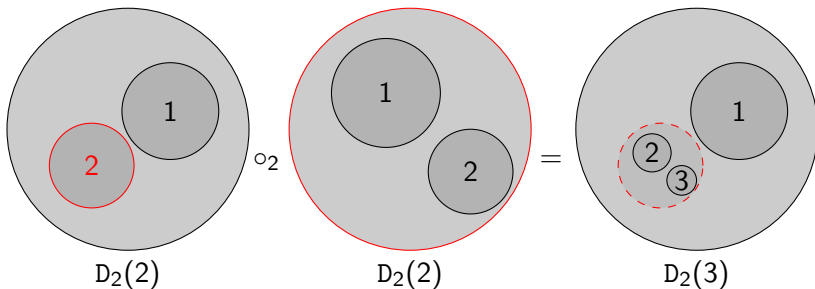
$$\begin{array}{c}
 \begin{array}{c}
 \overset{1}{\bullet} \quad \overset{2}{\bullet} \\
 \leftarrow \quad \rightarrow \\
 \swarrow \quad \searrow \\
 \searrow \quad \swarrow \\
 \bullet \quad \bullet \\
 \leftarrow \quad \rightarrow
 \end{array}
 \rightsquigarrow \tau_{X,Y} : X \otimes Y \rightarrow Y \otimes X
 \end{array}$$

Théorème (MacLane, Joyal–Street)

Une algèbre sur CoB est une catégorie monoïdale tressée (stricte, sans unité).

L'opérade des petits disques

L'opérade topologique D_n [Boardman–Vogt, May] des **petits n -disques** gouverne les algèbres à homotopie près :



Lien avec les tresses

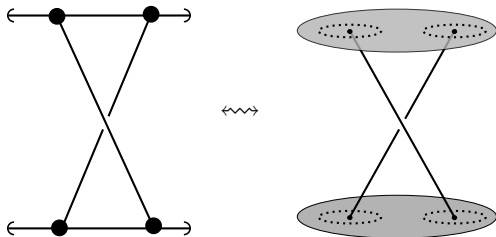
Proposition

$$D_2(r) \simeq \text{Conf}_r(\mathbb{R}^2) \simeq K(P_r, 1) \quad (\implies D_2 \simeq B\pi D_2)$$

Lien avec les tresses

Proposition

$$D_2(r) \simeq \text{Conf}_r(\mathbb{R}^2) \simeq K(P_r, 1) \quad (\implies D_2 \simeq B\pi D_2)$$

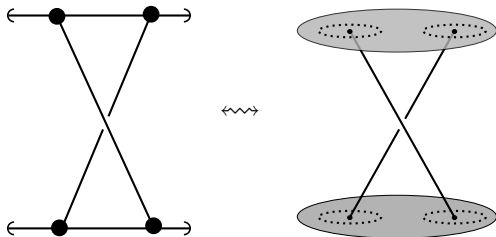


$\text{CoB}(r) \simeq$ sous-groupeoïde de $\pi D_2(r)$

Lien avec les tresses

Proposition

$$D_2(r) \simeq \text{Conf}_r(\mathbb{R}^2) \simeq K(P_r, 1) \quad (\implies D_2 \simeq B\pi D_2)$$

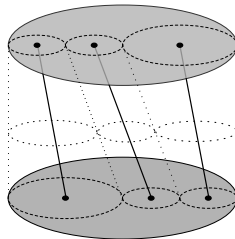
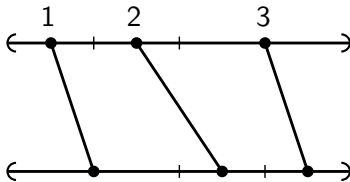


$$\text{CoB}(r) \simeq \text{sous-groupeïde de } \pi D_2(r)$$

Problème : l'inclusion ne respecte pas la structure d'opérade.

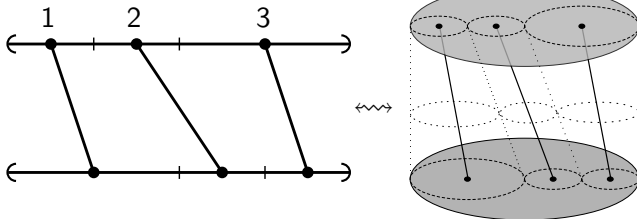
Lien avec les tresses (2)

Il faut passer par les tresses **parenthésées PaB** :



Lien avec les tresses (2)

Il faut passer par les tresses **parenthésées PaB** :



Théorème (Fresse)

Les opérades πD_2 et CoB sont faiblement équivalentes.

$\pi D_2 \xleftarrow{\sim} \text{PaB} \xrightarrow{\sim} \text{CoB}$ est un zigzag d'équivalences d'opérades.

Remarques

Extension du théorème :

Théorème

Une algèbre sur PaB est une catégorie monoïdale tressée (sans unité).

Versions unitaires CoB_+ et PaB_+ :

Théorème

Une algèbre sur CoB_+ (resp. PaB_+) est une catégorie monoïdale tressée stricte (resp. non stricte), avec unité stricte dans les deux cas.

Plan

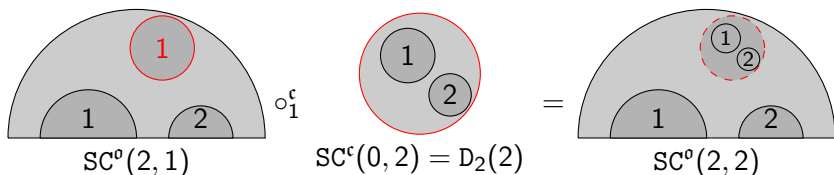
- ① Tresses et petits disques
- ② L'opérade Swiss-Cheese
- ③ Modèle rationnel : diagrammes de cordes

Définition de l'opérade Swiss-Cheese

L'opérade **Swiss-Cheese SC** [Voronov 1999] gouverne l'action d'une algèbre D_2 sur une algèbre D_1 . C'est une opérade **colorée**, avec deux couleurs \mathfrak{c} (« *closed* » $\rightsquigarrow D_2$) et \mathfrak{o} (« *open* » $\rightsquigarrow D_1$).

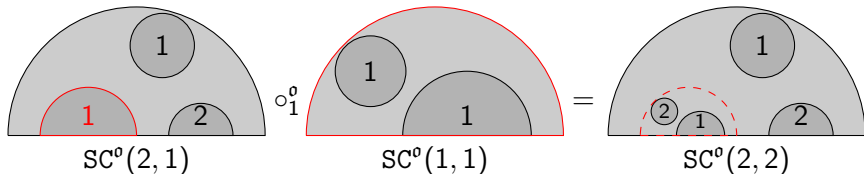
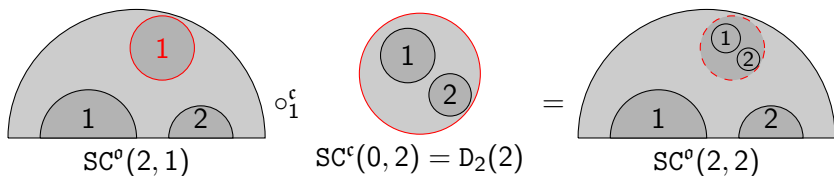
Définition de l'opérade Swiss-Cheese

L'opérade Swiss-Cheese SC [Voronov 1999] gouverne l'action d'une algèbre D_2 sur une algèbre D_1 . C'est une opérade colorée, avec deux couleurs ϵ (« *closed* » $\rightsquigarrow D_2$) et σ (« *open* » $\rightsquigarrow D_1$).



Définition de l'opérade Swiss-Cheese

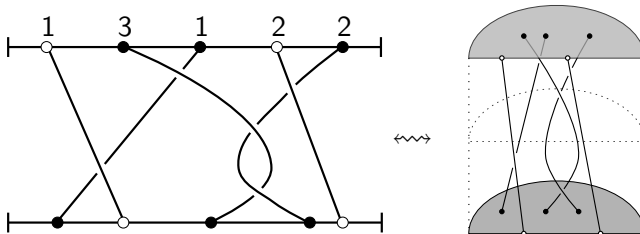
L'opérade Swiss-Cheese SC [Voronov 1999] gouverne l'action d'une algèbre D_2 sur une algèbre D_1 . C'est une opérade colorée, avec deux couleurs ϵ (« closed » $\rightsquigarrow D_2$) et σ (« open » $\rightsquigarrow D_1$).



L'opérade CoPB

Idée

Étendre CoB pour fabriquer une opérade colorée équivalente à πSC .

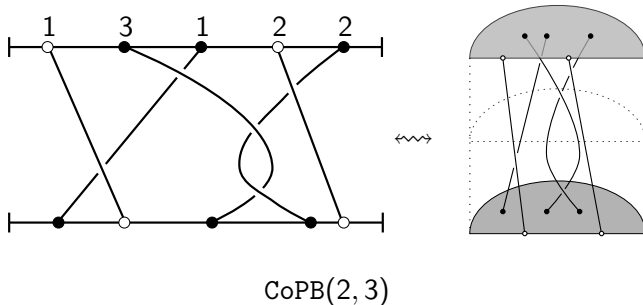


CoPB(2,3)

L'opérade CoPB

Idée

Étendre CoB pour fabriquer une opérade colorée équivalente à πSC .

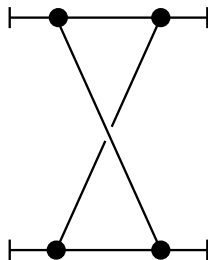
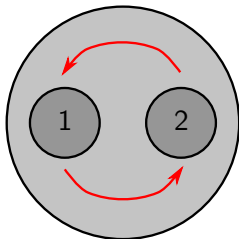


Théorème (I.)

$$\pi\text{SC} \simeq \text{CoPB}.$$

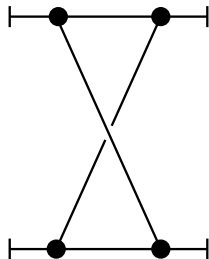
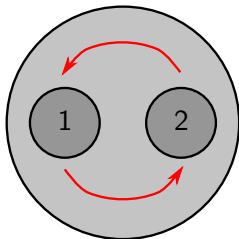
Tressages et semi-tressages

Dans D_2 / CoB : tressage = commutativité à homotopie près

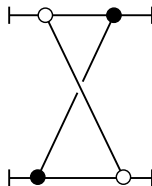
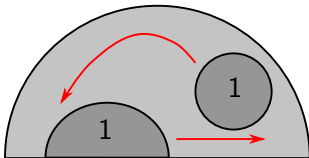


Tressages et semi-tressages

Dans D_2 / CoB : tressage = commutativité à homotopie près



Dans SC / CoPB : semi-tressage = morphisme « central »



Centre de Drinfeld

\mathcal{C} : catégorie monoïdale $\rightsquigarrow \Sigma\mathcal{C}$ la bicatégorie à un objet associée \rightsquigarrow
centre de Drinfeld $\mathcal{Z}(\mathcal{C}) := \text{End}(\text{id}_{\Sigma\mathcal{C}})$:

- objets : (X, Φ) où $X \in \mathcal{C}$ et $\Phi : (X \otimes -) \xrightarrow{\cong} (- \otimes X)$
(« semi-tressage ») ;
- $\{\text{morphismses } (X, \Phi) \rightarrow (Y, \Psi)\} = \{\text{morphismses } X \rightarrow Y$
compatibles avec Φ et $\Psi\}$.

Théorème (Drinfeld, Joyal–Street 1991, Majid 1991)

$\mathcal{Z}(\mathcal{C})$ est une catégorie monoïdale tressée avec

$$(X, \Phi) \otimes (Y, \Psi) = (X \otimes Y, (\Psi \otimes 1) \circ (1 \otimes \Phi)),$$

$$\tau_{(X, \Phi), (Y, \Psi)} = \Phi_Y.$$

Théorème de Voronov

Théorème (Voronov)

Une algèbre sur $H_*(SC)$ consiste en la donnée :

- D'une algèbre associative A ;
- D'une algèbre de Gerstenhaber B ;
- D'un morphisme central d'algèbres commutatives $B \rightarrow Z(A)$.

(Rappel : $H_*(D_1) = Ass$, $H_*(D_2) = Ger$)

Algèbres sur CoPB

Théorème (I.)

Une algèbre sur CoPB consiste en la donnée :

- D'une catégorie monoïdale (stricte sans unité) N ;
- D'une catégorie monoïdale tressée (stricte sans unité) M ;
- D'un foncteur monoïdal tressé (strict) $F : M \rightarrow \mathcal{Z}(N)$.

→ analogue du théorème de Voronov

Algèbres sur CoPB

Théorème (I.)

Une algèbre sur CoPB consiste en la donnée :

- D'une catégorie monoïdale (stricte sans unité) N ;
- D'une catégorie monoïdale tressée (stricte sans unité) M ;
- D'un foncteur monoïdal tressé (strict) $F : M \rightarrow \mathcal{Z}(N)$.

→ analogue du théorème de Voronov

Remarque

Comme pour CoB, il existe une version non-stricte du théorème, ainsi qu'une version unitaire.

Comparaison avec le théorème de Voronov

Théorème (Voronov)

Une algèbre sur $H_*(SC)$ consiste en la donnée :

- D'une algèbre associative A ;
- D'une algèbre de Gerstenhaber B ;
- D'un morphisme central d'algèbres commutatives $B \rightarrow Z(A)$.

(Rappel : $H_*(D_1) = Ass$, $H_*(D_2) = Ger$)

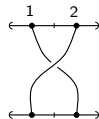
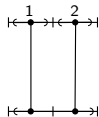
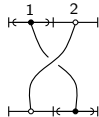
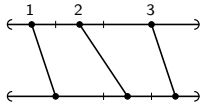
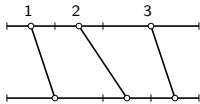
Les générateurs

On veut décrire PaPB par générateurs et relations.

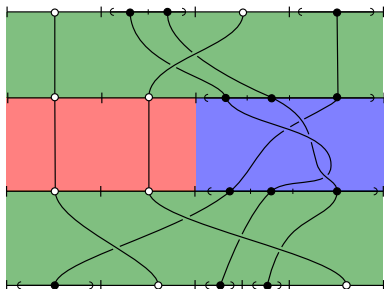
 $\mu_c \in \text{ob PaB}(2)$

 $\mu_o \in \text{ob PaPB}(2, 0)$

 $f \in \text{ob PaPB}(0, 1)$

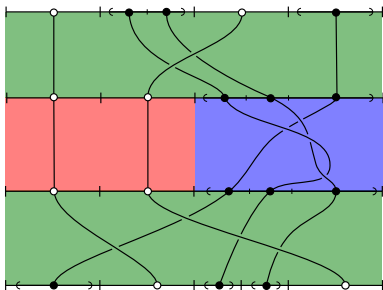
 $\tau \in \text{PaB}(2)$

 $p \in \text{PaPB}(0, 2)$

 $\psi \in \text{PaPB}(1, 1)$

 $\alpha_c \in \text{PaB}(3)$

 $\alpha_o \in \text{PaPB}(3, 0)$


Idée de la preuve



Tous les morphismes se décomposent comme à gauche.

Idée de la preuve



Tous les morphismes se décomposent comme à gauche. L'image d'un tel morphisme est bien définie par les relations :

- Théorèmes de cohérence de MacLane et Epstein.
- Adaptation de la preuve du théorème sur PaP et du théorème sur PaB.

Plan

- ① Tresses et petits disques
- ② L'opérade Swiss-Cheese
- ③ **Modèle rationnel : diagrammes de cordes**

Opérade des diagrammes de cordes

Algèbre de Lie de Drinfeld–Kohno :

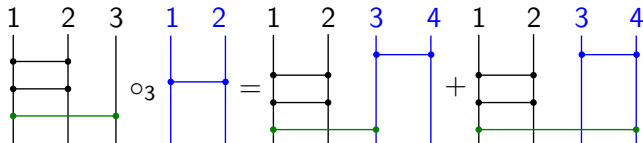
$$\mathfrak{p}(r) = \mathbb{L}(t_{ij})_{1 \leq i \neq j \leq r} / \langle t_{ij} - t_{ji}, [t_{ij}, t_{kl}], [t_{ik}, t_{ij} + t_{jk}] \rangle.$$

Opérade des diagrammes de cordes

Algèbre de Lie de Drinfeld–Kohno :

$$\mathfrak{p}(r) = \mathbb{L}(t_{ij})_{1 \leq i \neq j \leq r} / \langle t_{ij} - t_{ji}, [t_{ij}, t_{kl}], [t_{ik}, t_{ij} + t_{jk}] \rangle.$$

Structure d'opérade (sur l'algèbre enveloppante) :



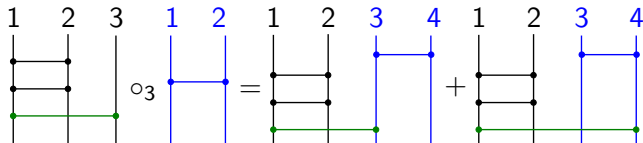
$$t_{13}t_{12}t_{12} \circ_3 t_{12} \in \mathbb{U}\mathfrak{p}(4)$$

Opérade des diagrammes de cordes

Algèbre de Lie de Drinfeld–Kohno :

$$\mathfrak{p}(r) = \mathbb{L}(t_{ij})_{1 \leq i \neq j \leq r} / \langle t_{ij} - t_{ji}, [t_{ij}, t_{kl}], [t_{ik}, t_{ij} + t_{jk}] \rangle.$$

Structure d'opérade (sur l'algèbre enveloppante) :



$$t_{13}t_{12}t_{12} \circ_3 t_{12} \in \mathbb{U}\mathfrak{p}(4)$$

Complétion (de Mal'cev) :

$$\widehat{\mathcal{CD}} = \mathbb{G}\widehat{\mathbb{U}\mathfrak{p}}$$

opérade dans la catégorie des group(oïde)s complets, associée à la complétion de l'algèbre de Lie \mathfrak{p} en chaque arité (\approx exponentielles formelles).

Associateurs de Drinfeld

Associateurs de Drinfeld ($\mu \in \mathbb{Q}^\times$) :

$$\text{Ass}^\mu(\mathbb{Q}) = \{\phi : \text{PaB}_+ \rightarrow \widehat{\text{CD}}_+ \mid \phi(\tau) = e^{\mu t_{12}/2}.\}$$

Si $\phi \in \text{Ass}^\mu(\mathbb{Q})$, alors :

$$\Phi(t_{12}, t_{23}) := \phi(\alpha) \in \mathbb{G}(\mathbb{Q}[[t_{12}, t_{23}]])$$

vérifie les équations usuelles (pentagone, hexagone).

Associateurs de Drinfeld

Associateurs de Drinfeld ($\mu \in \mathbb{Q}^\times$) :

$$\text{Ass}^\mu(\mathbb{Q}) = \{\phi : \text{PaB}_+ \rightarrow \widehat{\text{CD}}_+ \mid \phi(\tau) = e^{\mu t_{12}/2}\}$$

Si $\phi \in \text{Ass}^\mu(\mathbb{Q})$, alors :

$$\Phi(t_{12}, t_{23}) := \phi(\alpha) \in \mathbb{G}(\mathbb{Q}[[t_{12}, t_{23}]])$$

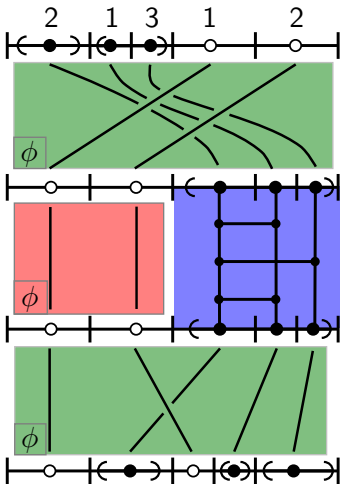
vérifie les équations usuelles (pentagone, hexagone).

Théorème (Drinfeld)

$$\text{Ass}^\mu(\mathbb{Q}) \neq \emptyset$$

ϕ induit une *équivalence rationnelle* $\pi(\mathbb{D}_2)_+ \simeq \text{PaB}_+ \xrightarrow{\sim_{\mathbb{Q}}} \widehat{\text{CD}}_+$.

Modèle rationnel de πSC_+



En s'inspirant de la preuve du théorème, on construit une nouvelle opérade PaPCD_+^ϕ (pour $\phi \in \text{Ass}^\mu(\mathbb{Q})$ fixé).

Théorème (I.)

$$\pi\text{SC}_+ \simeq_{\mathbb{Q}} \text{PaPCD}_+^\phi.$$

Formalité

Théorème (Kontsevich 1999 ; Tamarkin 2003, $n = 2$)

L'opérade D_n est formelle : $C_*(D_n) \simeq H_*(D_n)$.

Formalité

Théorème (Kontsevich 1999 ; Tamarkin 2003, $n = 2$)

L'opérade D_n est formelle : $C_*(D_n) \simeq H_*(D_n)$.

En homotopie rationnelle : $\langle H^*(P) \rangle$ à comparer à $\langle \Omega^*(P) \rangle$.

Théorème (Fresse–Willwacher 2015)

$D_n \simeq_{\mathbb{Q}} \langle H^*(D_n) \rangle^{\mathbb{L}} \implies D_n$ est formelle sur \mathbb{Q} .

Non-formalité

$H_*(\text{SC}) = \text{Ger} \otimes \text{Ass}$ est un « produit de Voronov » :

$$\begin{aligned} H^*(\text{SC}) &\cong (\text{Ger} \otimes \text{Ass})^* \cong \text{Ger}^* \otimes \text{Ass}^* \\ \implies \langle H^*(\text{SC}) \rangle^{\mathbb{L}} &\simeq \langle \text{Ger}^* \rangle^{\mathbb{L}} \times \langle \text{Ass}^* \rangle^{\mathbb{L}} \\ \implies \pi \langle H^*(\text{SC}) \rangle^{\mathbb{L}} &\simeq_{\mathbb{Q}} \widehat{\text{CD}} \times \text{PaP} \end{aligned}$$

Non-formalité

$H_*(SC) = \text{Ger} \otimes \text{Ass}$ est un « produit de Voronov » :

$$\begin{aligned} H^*(SC) &\cong (\text{Ger} \otimes \text{Ass})^* \cong \text{Ger}^* \otimes \text{Ass}^* \\ \implies \langle H^*(SC) \rangle^{\mathbb{L}} &\simeq \langle \text{Ger}^* \rangle^{\mathbb{L}} \times \langle \text{Ass}^* \rangle^{\mathbb{L}} \\ \implies \pi \langle H^*(SC) \rangle^{\mathbb{L}} &\simeq_{\mathbb{Q}} \widehat{\text{CD}} \times \text{PaP} \end{aligned}$$

Théorème (Livernet 2015)

L'opérade SC n'est pas formelle.

$$\implies \langle H^*(SC) \rangle^{\mathbb{L}} \not\simeq_{\mathbb{Q}} SC \implies \text{PaP}\widehat{\text{CD}}_+^{\phi} \not\simeq_{\mathbb{Q}} \widehat{\text{CD}} \times \text{PaP}$$

Merci !

Merci de votre attention !

arXiv:1507.06844